

ERRATA

Os autores apelam aos leitores que lhes façam chegar correções, comentários ou sugestões para melhorar esta e futuras edições do livro *Introdução à Instrumentação Médica*. Para tal, os endereços eletrônicos de ambos os autores seguem abaixo:

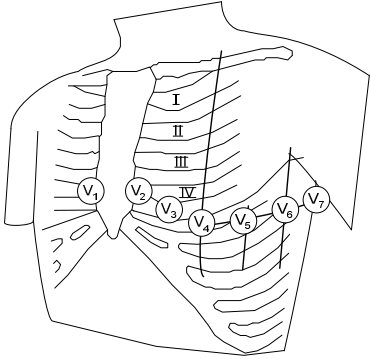
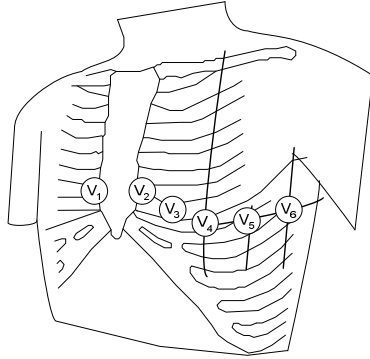
José Higinio Correia
 higinio.correia@dei.uminho.pt

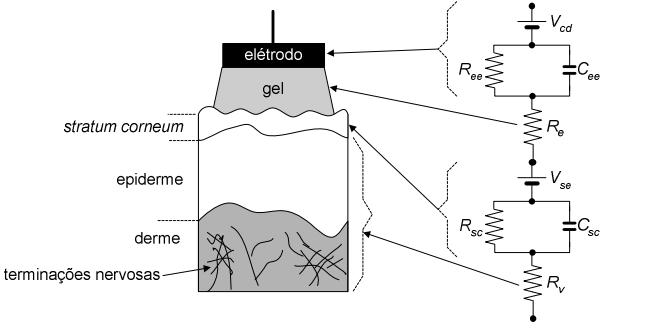
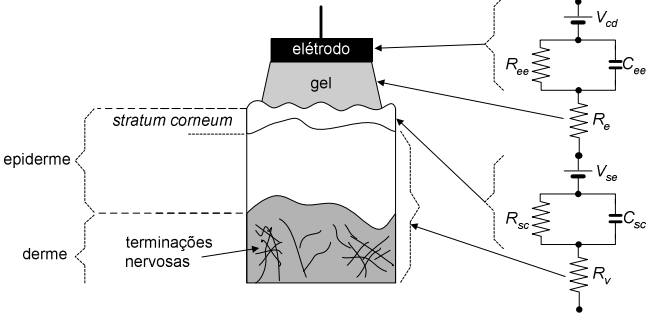
João Paulo Carmo
 jcarmo@sc.usp.br

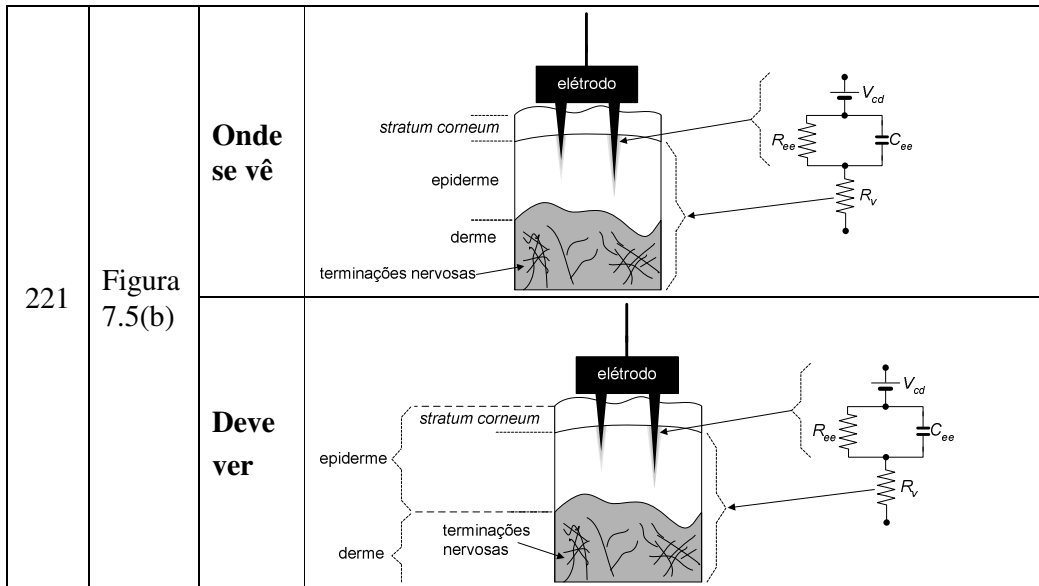
Guimarães, 18 de Maio de 2017

pág.	localização	onde se lê	deverá ler-se / nota
23	Par 1/ Lin -4	... material.	... material. Adicionalmente, refira-se que a temperatura afeta o comportamento dos extensómetros.
47	Par 4/Lin 3	... nominal de $0.385 \Omega \cdot ^\circ\text{C}^{-1}$ nominal de $0.385 \Omega \cdot ^\circ\text{C}^{-1}$ com elevada linearidade.
67	Equação (2.62)	$A = A_0 e^{-\frac{K_a}{C}}$	$A = A_0 e^{-\frac{K_a}{C}}$
67	Equação (2.63)	$A = A_0 e^{-\frac{K_b}{d}}$	$A = A_0 e^{-\frac{K_b}{d}}$
117	Eq. (4.22)	$\angle H(jf) = \angle \left[H_0 \times \frac{1}{1 + j\left(\frac{f}{f_0}\right)} \right] =$ $= \angle \left[\frac{1}{1 + j\left(\frac{f}{f_0}\right)} \right] =$ $= -\angle \left[1 + j\left(\frac{f}{f_0}\right) \right] =$ $= -\arctg\left(\frac{f}{f_0}\right)$	$\angle H(jf) = \angle \left[H_0 \times \frac{1}{1 + j\left(\frac{f}{f_0}\right)} \right] =$ $= \angle(H_0) + \angle \left[\frac{1}{1 + j\left(\frac{f}{f_0}\right)} \right] =$ $= \angle(H_0) - \angle \left[1 + j\left(\frac{f}{f_0}\right) \right] =$ $= 180^\circ - \arctg\left(\frac{f}{f_0}\right)$
119	Linha 1	$f_0 = 1/(2\pi R_2 C_2)$	$f_0 = 1/(2\pi R_1 C_1)$

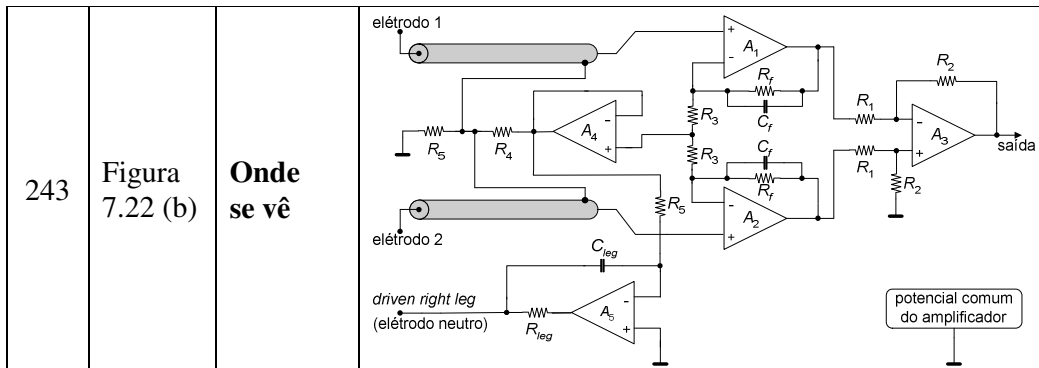
119	Eq. (4.25)	$\angle H(jf) = \angle(H_0 \times \frac{j(\frac{f}{f_0})}{1+j(\frac{f}{f_0})}) =$ $= \angle [j(\frac{f}{f_0})] + \angle \frac{1}{1+j(\frac{f}{f_0})} =$ $= \angle [j(\frac{f}{f_0})] - \angle [1+j(\frac{f}{f_0})] = 90^\circ - \arctg(\frac{f}{f_0})$	$\angle H(jf) = \angle(H_0 \times \frac{j(\frac{f}{f_0})}{1+j(\frac{f}{f_0})}) =$ $= \angle(H_0) + \angle [j(\frac{f}{f_0})] + \angle \frac{1}{1+j(\frac{f}{f_0})} =$ $= \angle(H_0) + \angle [j(\frac{f}{f_0})] - \angle [1+j(\frac{f}{f_0})] =$ $= 180^\circ + 90^\circ - \arctg(\frac{f}{f_0}) =$ $= 270^\circ - \arctg(\frac{f}{f_0})$
129	Equação (4.48)	$H(jf) = -\frac{K(j\frac{f}{f_0})^2}{1 - (\frac{f}{f_0})^2 + (j\frac{1}{Q}) \times (\frac{f}{f_0})}$	$H(jf) = -\frac{K(\frac{f}{f_0})^2}{1 - (\frac{f}{f_0})^2 + (j\frac{1}{Q}) \times (\frac{f}{f_0})}$
136	Exercício 4.10(c)	$V_i(t) = 2 + \cos(500/\pi)t$	$V_i(t) = 2 + \cos(1000t)$
160	Linha 14	... consoante V_{comp} tome...	... consoante V_{out} tome...
164	Exercício 5.1(b)	quatro bits	três bits
186	Tabela 6.3	... braço direito	... braço esquerdo
186	Tabela 6.3	... braço esquerdo	... braço direito
190	Figura 6.14(c)		
191	Figura 6.15(a)		

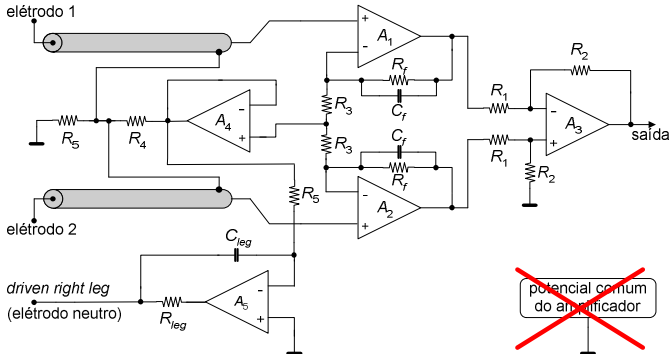
191	Figura 6.15(b)		
191	Legenda Fig 6.15(b)	(b) localização das derivações unipolares pré-cordiais	(b) posição dos elétrodos pré-cordiais no tórax.
199	Tabela 6.5	... crianças	... crianças, stress em adultos
199	Tabela 6.5	... idade no estado acordado	... idade no estado acordado, intensa atividade mental
204	Par 3/Lin 6	tipo de crise epilética.	tipo de crise epilética parcial.

221	Figura 7.5(a)	Onde se vê	
		Deve ver	



240	Par 1/Lin 3	... parasita C_{body} (desde que...	... parasita C_{terra} (desde que...
240	Par 1/Lin 4	... de modo comum V_{cm} , degradando ainda mais o desempenho do amplificador.	... de modo comum V_{cm} ; degradando ainda mais o desempenho do amplificador.



		<p>Deve-se ver</p>	
243	Par -1/ Lin -1	... que se somam na saída.	... que se combinam na saída.
247	Par -1/ Lin -4	... a parte não isolada e a parte isolada.	... a parte isolada e a parte não isolada.